

# Chemie životního prostředí II – Znečištění složek prostředí

## Atmosféra

(10)

## Smogy

Ivan Holoubek

**RECETOX, Masaryk University, Brno, CR**

[holoubek@recetox.muni.cz](mailto:holoubek@recetox.muni.cz); <http://recetox.muni.cz>



evropský  
sociální  
fond v ČR



EVROPSKÁ UNIE



MINISTERSTVO ŠKOLSTVÍ,  
MLÁDEŽE A TĚLOVÝCHOVY

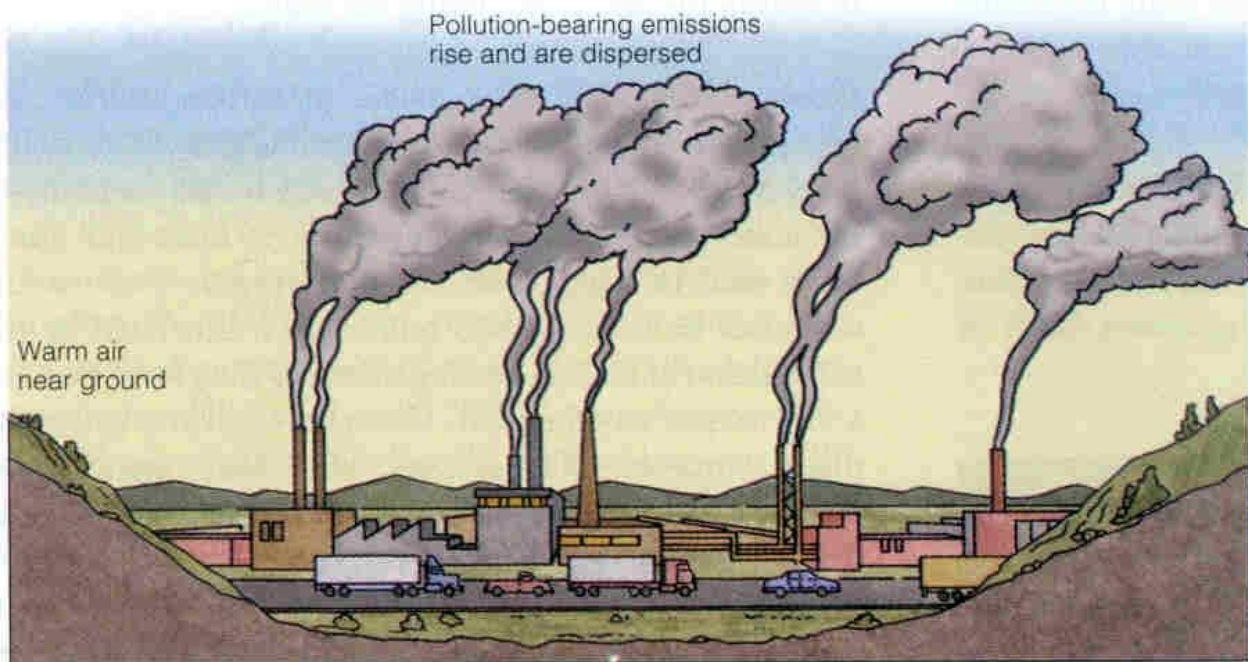


OP Vzdělávání  
pro konkurenceschopnost

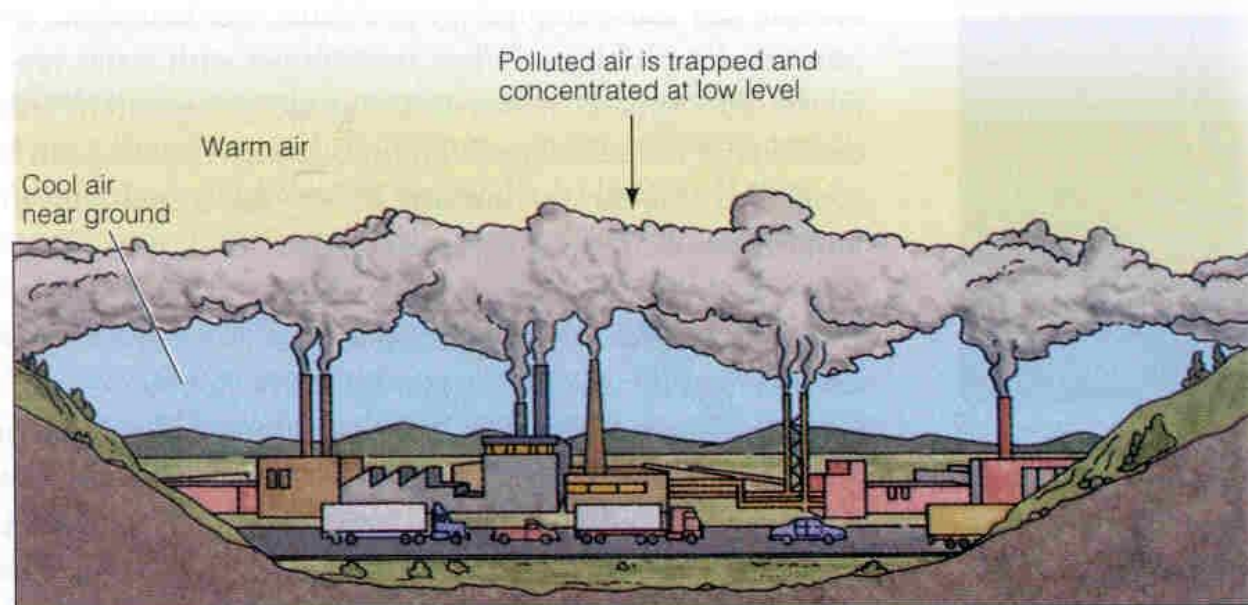


INVESTICE DO ROZVOJE VZDĚLÁVÁNÍ

# Rozptyl škodlivin v atmosféře

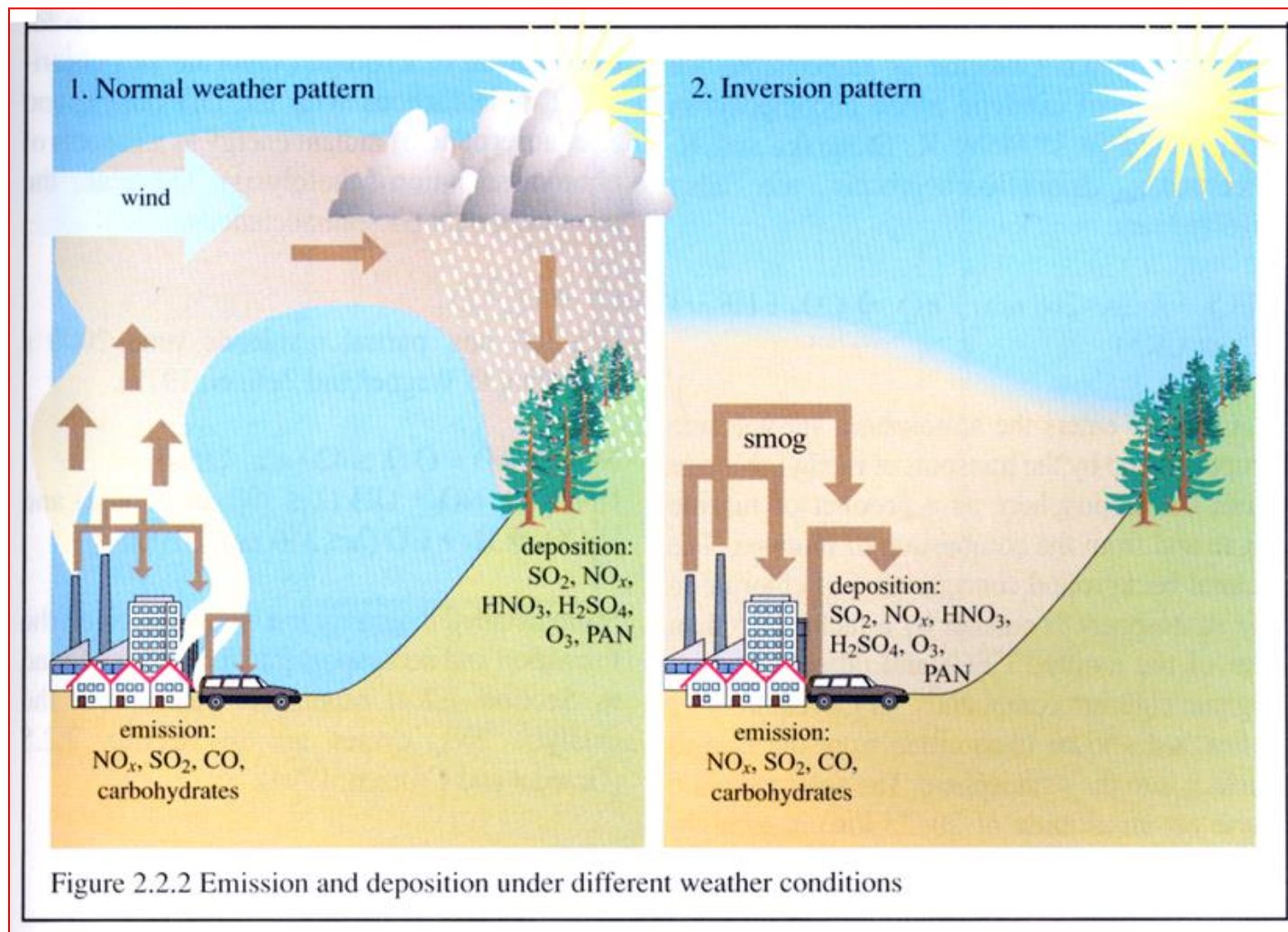


A.



B.

# Emise a depozice za různých meteorologických podmínek





# Smogy – meteorologické podmínky vzniku

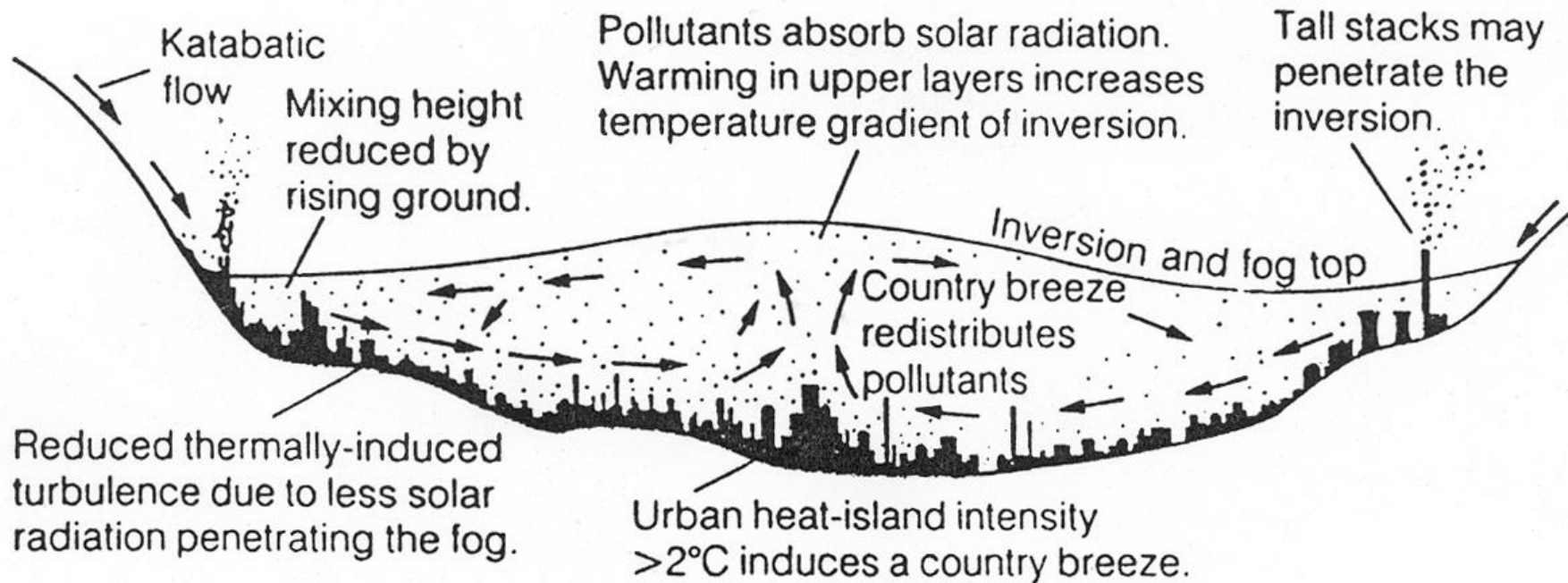


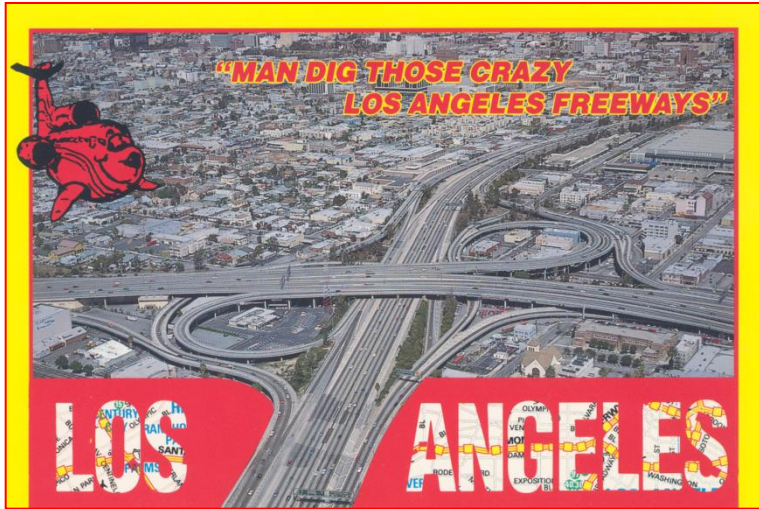
Figure 2.2 Meteorology-pollution relationships during a smog in a valley location

Source: Modified from Elsom, 1978b

# Smogy

<b>CHARAKTERISTIKY</b>	<b>KLASICKÝ</b>	<b>FOTOCHEMICKÝ</b>
<b>Místo prvního výskytu</b>	Londýn	Los Angeles
<b>Základní komponenty</b>	SO <sub>x</sub> , tuhé částice	O <sub>3</sub> , NO <sub>x</sub> , HCs, CO, volné radikály
<b>Základní zdroje</b>	Průmyslové a domácí spalování fosilních paliv (uhlí, nafta)	Automobilová doprava (benzín, nafta)
<b>Vlivy na člověka</b>	Dráždění horních a dolních cest dýchacích	Oční iritant
<b>Vlivy na chemické látky</b>	Redukční	Oxidační
<b>Čas výskytu nejhorších epizod</b>	Zimní měsíce, zvláště časné ráno (0 - 5 °C)	Okolo poledne v letních měsících (25 - 30 °C)

# Fotochemický smog – Los Angeles



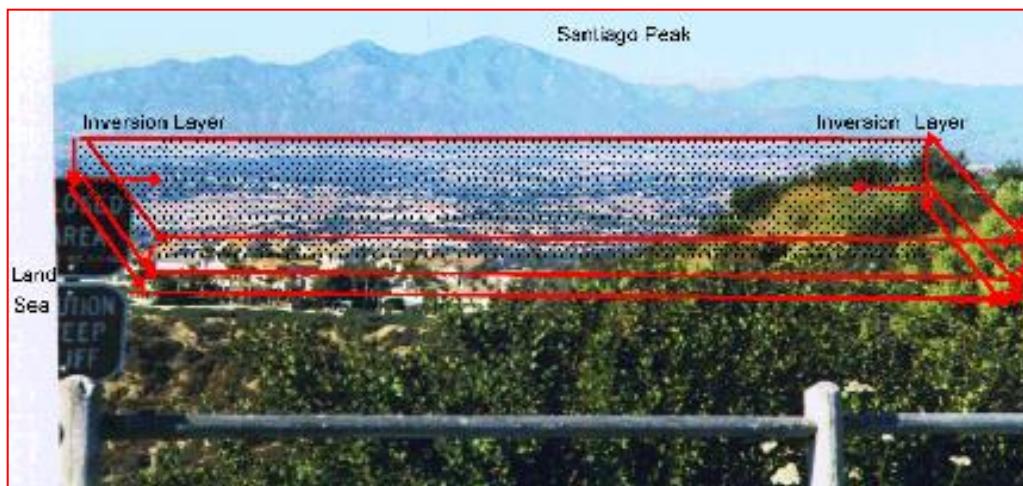


# Fotochemický smog – Los Angeles



**Figure 4.8.** Photochemical smog in Los Angeles, California, on July 23, 2000. The smog hides the high-rise buildings in downtown Los Angeles and the mountains in the background.

Views of: a) intrusion of Los Angeles smog at the inversion layer into the Orange County air space near El Toro airport and Santiago Peak; b) Ocean fog entering the Aliso/Wood Canyons near El Toro air space; c) Representative volume of air space affected by fuel combustion of aircraft in landing and take off, LTO.



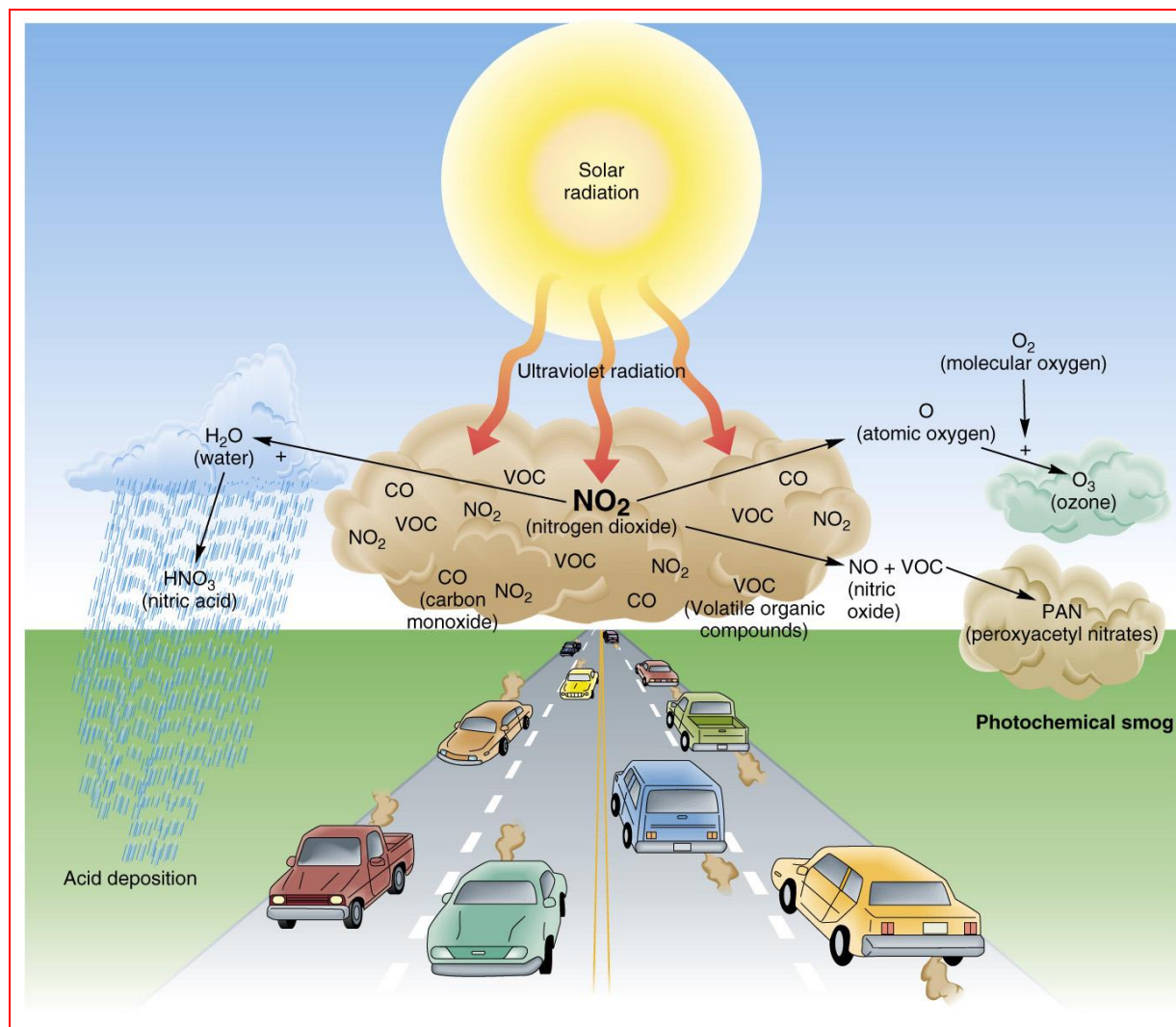


# Oxidační smog

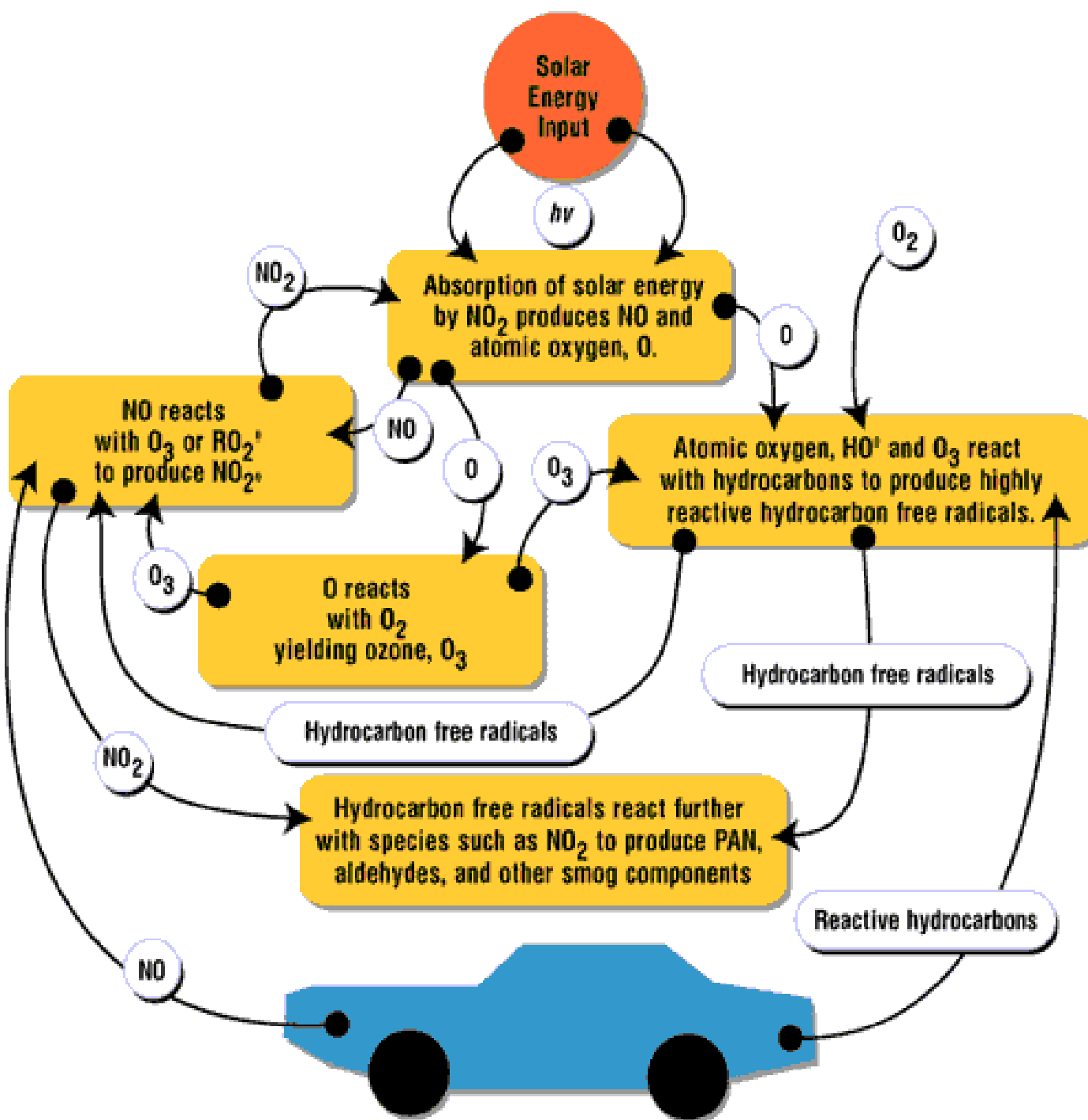
- ↪ (fotochemický, los Angeleský smog) – vytváří se v městských oblastech vlivem dopravy a slunečního záření, hlavní složkou je fotochemicky vzniklý ozón, reakce je katalyzovaná  $\text{NO}_x$
- ↪ poškozuje sliznici, ztěžuje dýchání, způsobuje alergická onemocnění



# Schéma vzniku fotochemického smogu



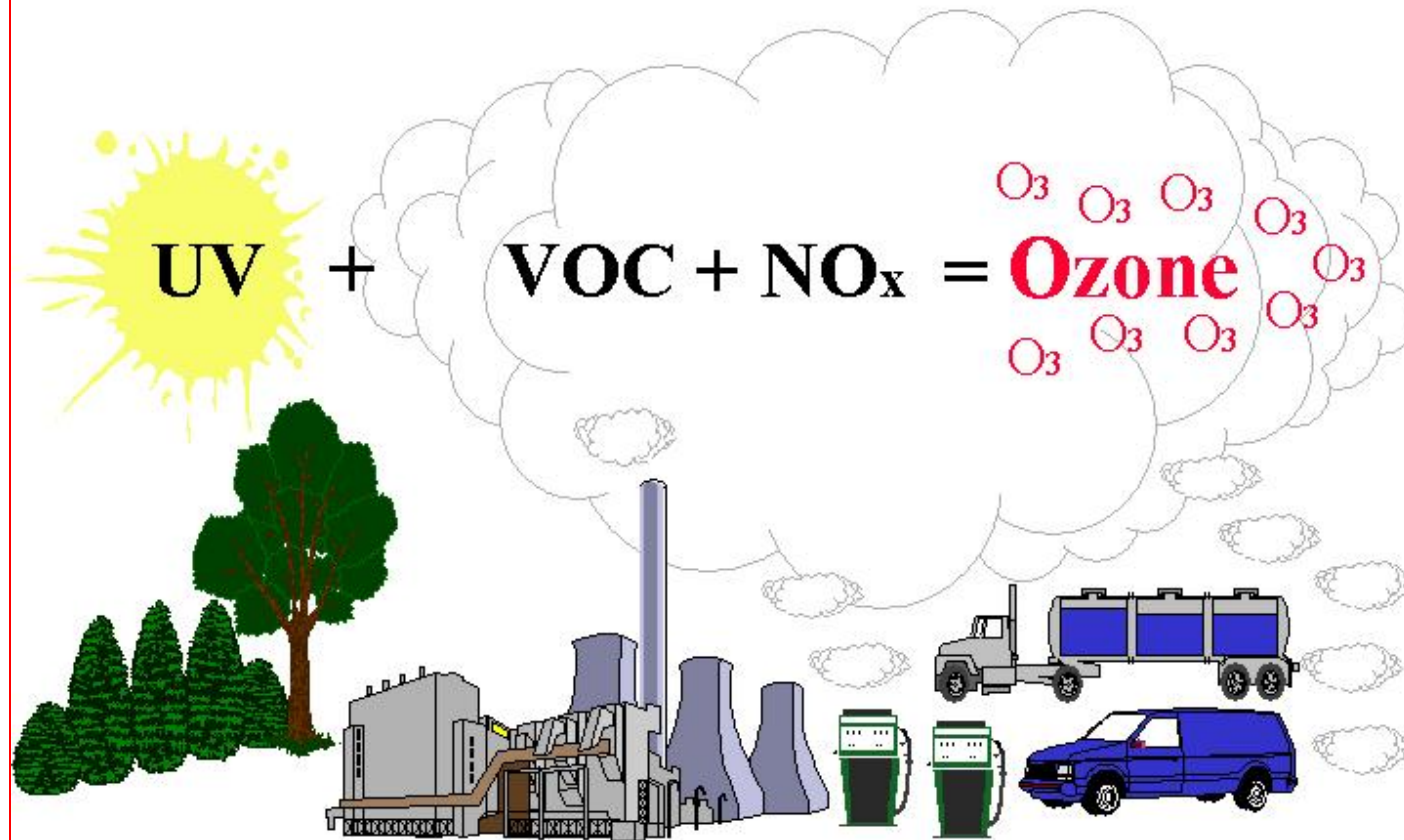
# Fotochemický smog





# Vznik přízemního ozonu

## Ground-Level Ozone Formation



# Vznik fotochemického smogu

↪ Při spalování, např. v motorech, vzniká NO:



↪ Ve vzduchu se NO rychle oxiduje:



↪ Slunečním zářením se NO<sub>2</sub> rozkládá:



↪ Radikál kyslíku vzniklý fotodisociací NO<sub>2</sub> může reagovat s O<sub>2</sub> na O<sub>3</sub>, klíčovou složku smogu:



↪ V troposféře je ozón nežádoucí příměs, protože O<sub>3</sub> je toxický a reaktivní.

↪ Ozónu ubývá ve stratosféře, a jeho koncentrace narůstá v troposféře, kde vytváří nežádoucí smog.

# Vznik přízemního ozonu

Table 2.7 Highest hourly concentration of ozone observed at selected city sites in 1974<sup>b</sup>

City	1-h concentration <sup>a</sup>	
	$\mu\text{g}/\text{m}^3$	ppm
Riverside, USA	744	0.37
Los Angeles, USA	548	0.27
Eindhoven, The Netherlands	420	0.21
Tokyo, Japan	380	0.19
Osaka, Japan	320	0.16
Washington, D.C., USA	312	0.16
London, UK	294	0.15
Bonn, FRG	290	0.15

<sup>a</sup>0 1 ppm = 200  $\mu\text{g}/\text{m}^3$ .

<sup>b</sup>In Europe, PAN concentrations during summer months are typically 1-2 ppb or less, with isolated peaks during episodes of 16-20 ppb, while in Japan they may reach 30 ppb. In contrast, the Los Angeles basin experiences peaks of 40-210 ppb and monthly means of 4-9 ppb (Temple and Taylor, 1983)

Source: World Health Organization, 1979b





# Fotochemický smog

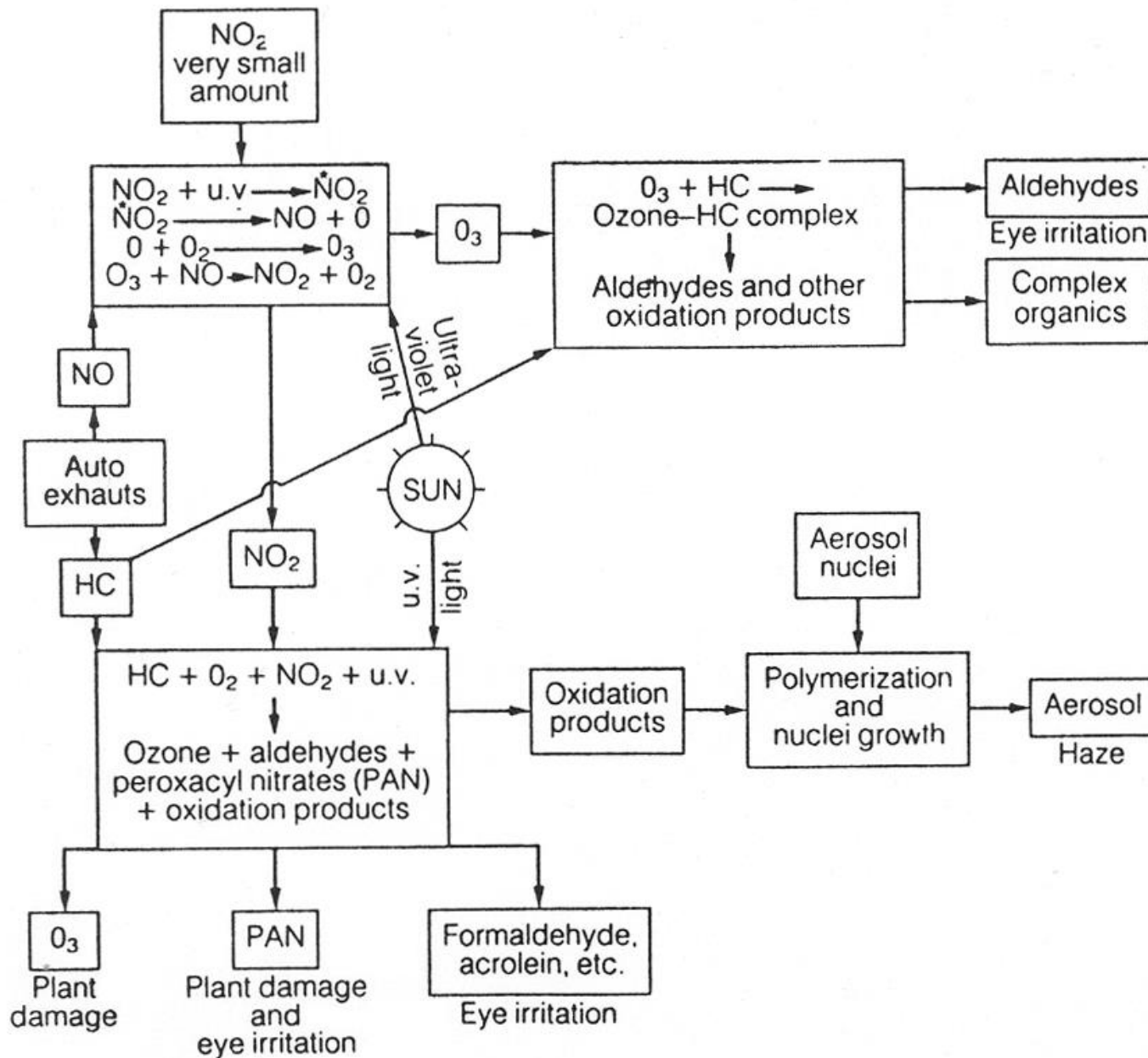
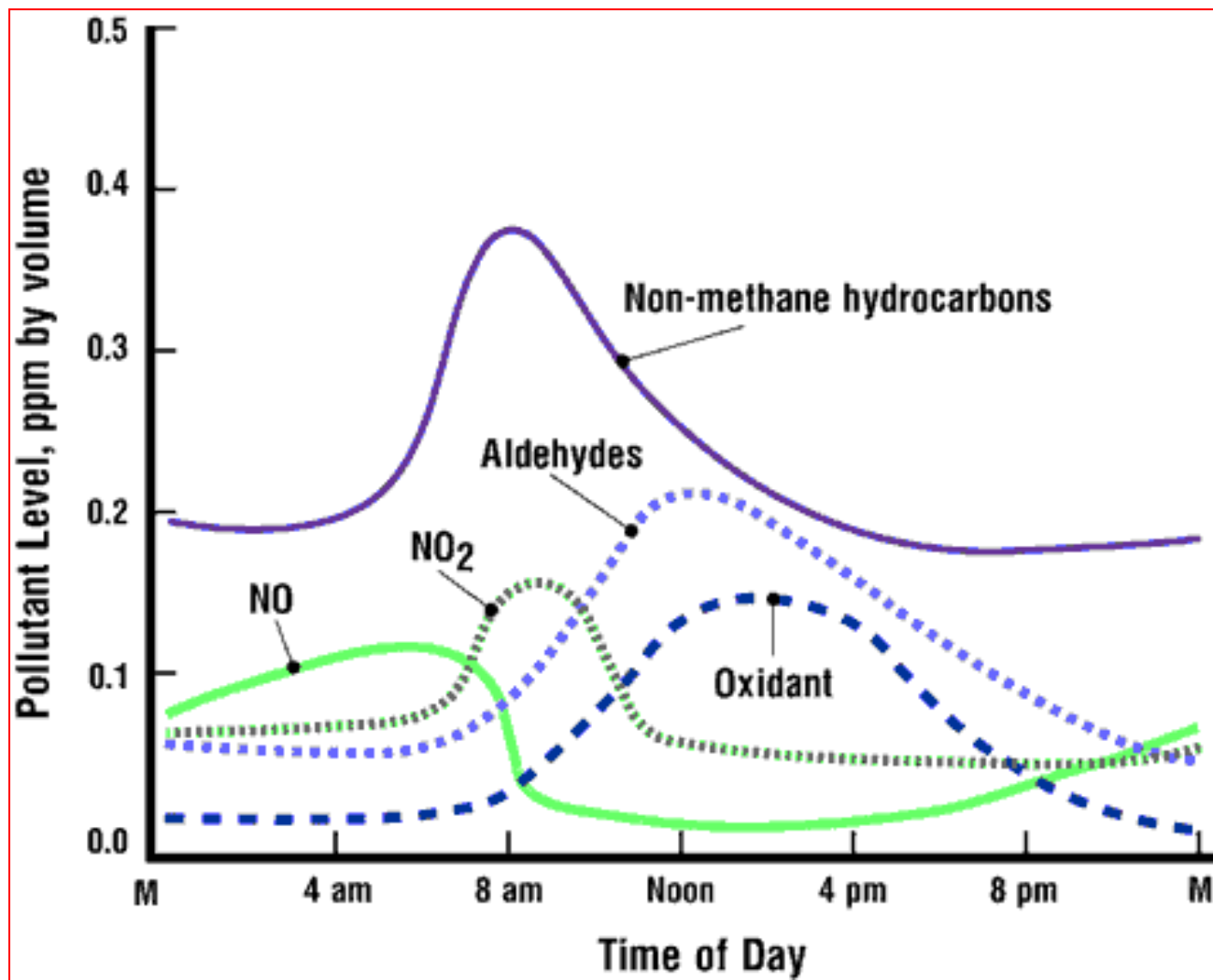


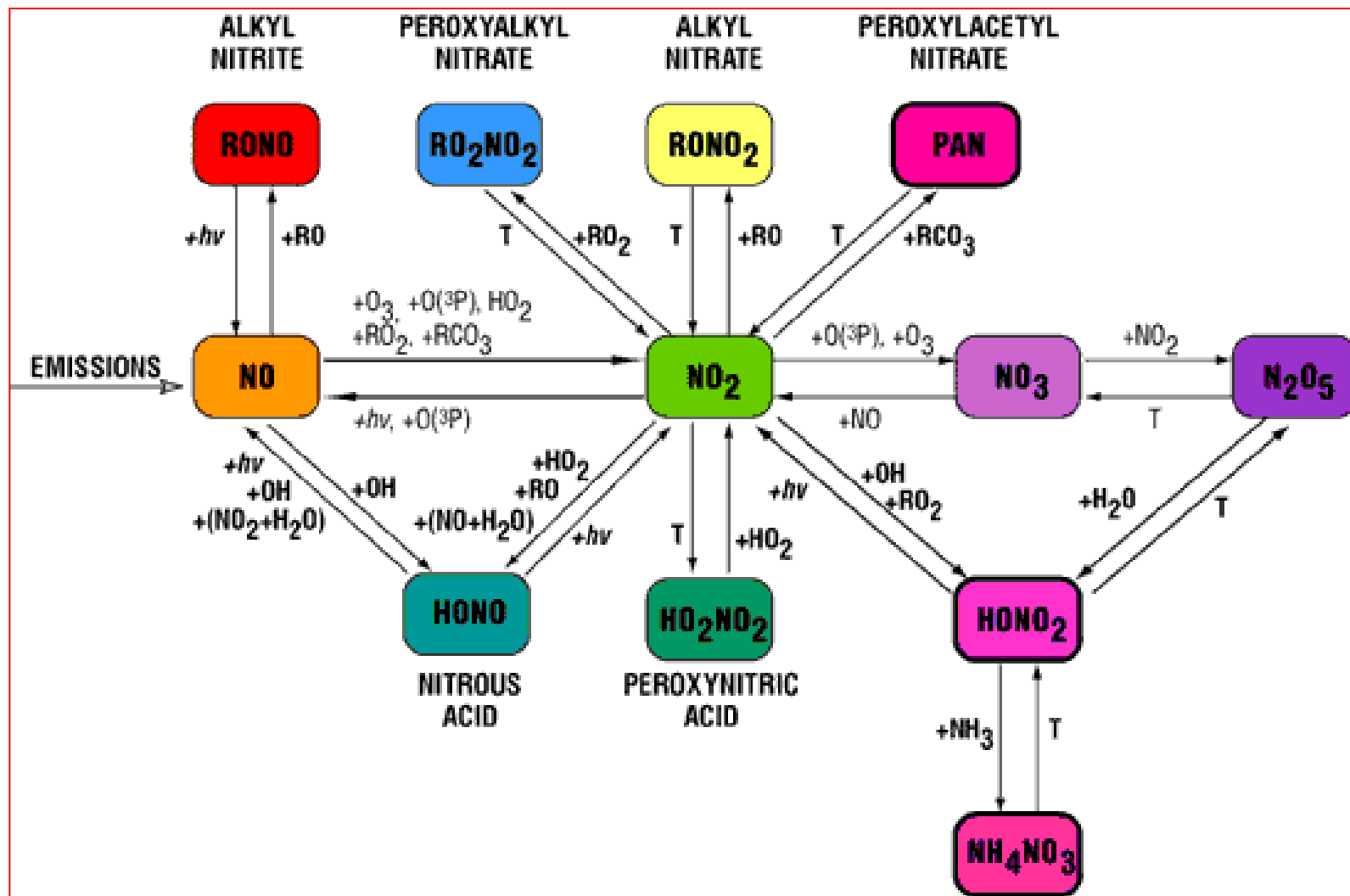
Figure 2.7 Photochemical smog formation

Source: modified from Faith and Atkisson, 1972

# Fotochemický smog – denní variace

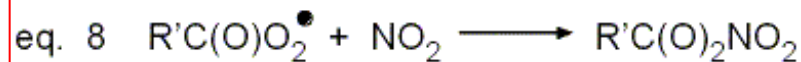
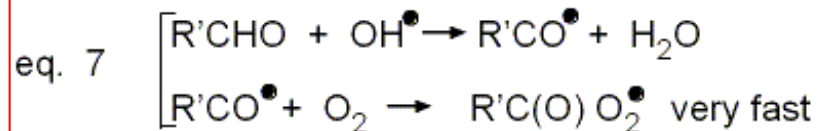
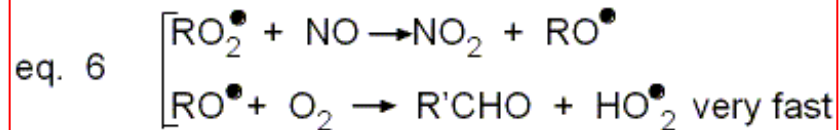
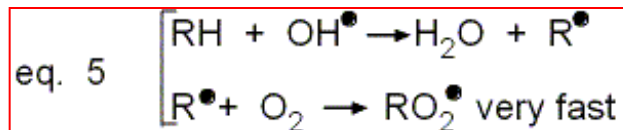
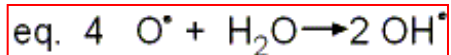
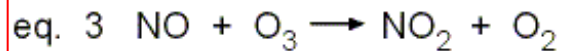
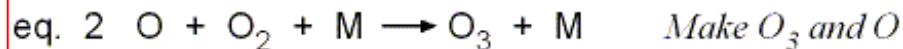
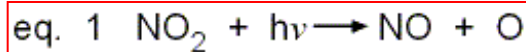


# Fotochemický smog





# Fotochemický smog – reakce



RH = any hydrocarbon (i.e., CH<sub>3</sub>CH<sub>2</sub>CH<sub>3</sub> or CH<sub>3</sub>CH<sub>3</sub>)

R'CHO = an aldehyde (  $\text{R}'-\text{C} \begin{array}{l} \text{O} \\ // \\ \text{H} \end{array}$  )

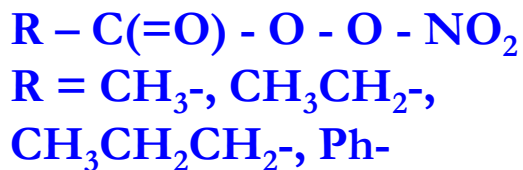
R'CO<sup>•</sup> = an acyl radical (  $\text{R}'-\text{C} \begin{array}{l} \text{O} \\ // \\ \cdot \end{array}$  )

R'C(O)O<sub>2</sub><sup>•</sup> = an acylperoxy radical (  $\text{R}'-\text{C} \begin{array}{l} \text{O} \\ // \\ \text{O}-\text{O} \cdot \end{array}$  )

R'C(O)O<sub>2</sub>NO<sub>2</sub> = an acylperoxy nitrate (  $\text{R}'-\text{C} \begin{array}{l} \text{O} \\ // \\ \text{O}-\text{O}-\text{NO}_2 \end{array}$  )

When R' is a methyl group (CH<sub>3</sub>—) this substance is called Peroxyacyl nitrate, or PAN

# Peroxyacylnitráty (PANs)



## Výskyt PAN v atmosféře:

Fytotoxicita = 10 ppb / 5 hod.

Místo výskytu	Doba sledování	Maximální koncentrace PAN [ppb]
Los Angeles, CA	1965	210
Riverside, CA	1968	58
Padasena, CA	1972	53
Salt Lake City, UT	1966	57
Calgery, CAN	1982	7
Essen, FRG	1973	20
Londýn, UK	1974-5	16
Tokyo, JPN	1973	32
Litvínov, ČSSR	1979	40

Dráždí sliznice,  
fytoxicita,  
inaktivace enzymů  
oxidací SH- skupin,  
negativní ovlivnění  
syntézy mastných  
kyselin, inhibice  
fixace CO<sub>2</sub>, redukce  
N nukleotidů a  
fotosyntetické  
fosforylace

# Fotochemické oxidační reakce organických látek

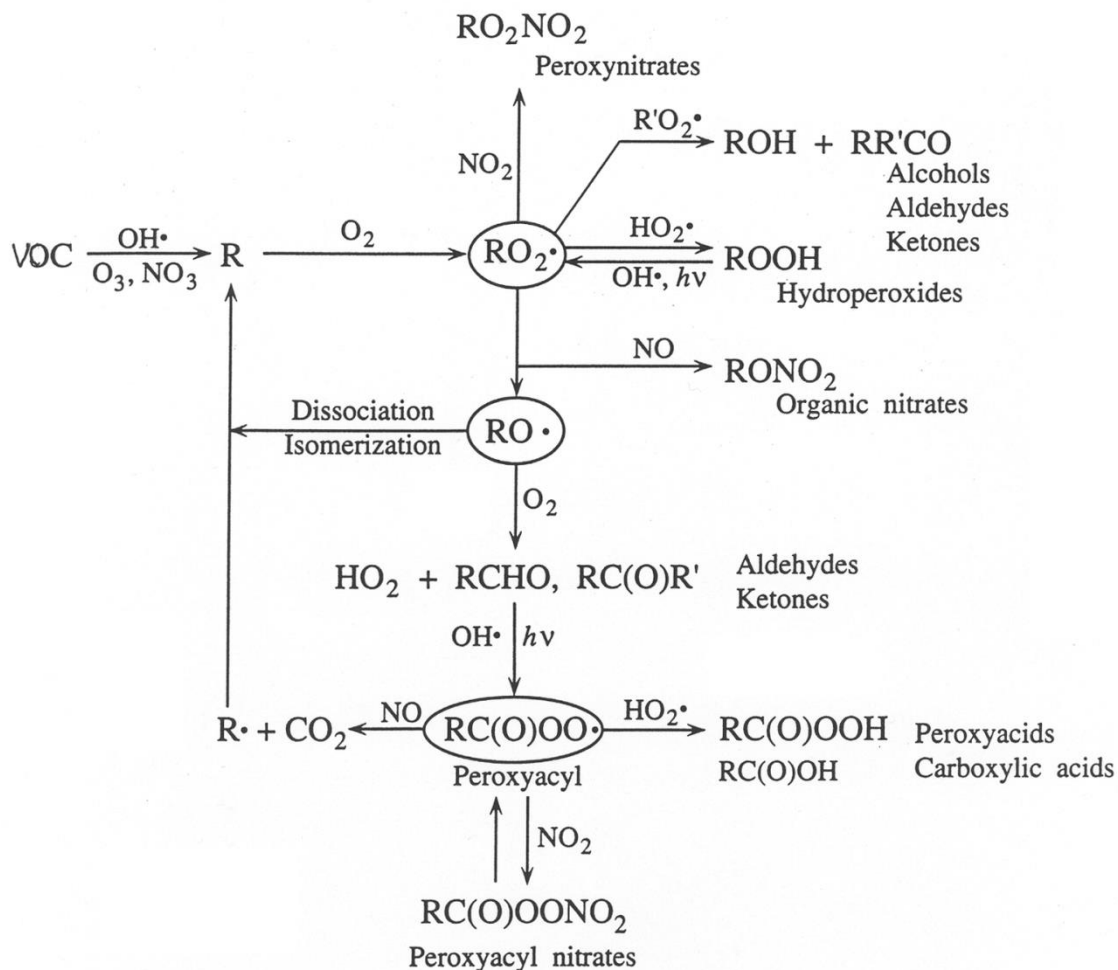


FIGURE 5.13 Organic radicals and products in the photooxidation of an organic molecule.



# Redukční (průmyslový, londýnský) smog

- ↪ Vhodná atmosférická situace - **dlouhodobá teplotní inverze**
- ↪ **Hlavní složkou je SO<sub>2</sub>, PM (popílek saze) a kyseliny (sírová, dusičná, chlorovodíková).**
- ↪ **Vzniká interakcí městského a průmyslového kouře s mlhou,** vyskytující se zimních podmínkách s výraznými přízemními inverzemi teploty - nedochází k pohybu vzdušných mas ⇒ prudký nárůst koncentrace SO<sub>2</sub> a tuhých částic a pokles koncentrace kyslíku. SO<sub>2</sub> je oxidován na H<sub>2</sub>SO<sub>4</sub> - mechanismy viz SO<sub>2</sub>
- ↪ **Mlha je nezbytnou podmínkou vzniku - dominantní typ** v nočních hodinách
- ↪ Ztěžuje dýchání, dráždí sliznice, dušení
- ↪ **V roce 1952 zemřelo v Londýně během dnů 4 000 lidí**

# Londýnský smog

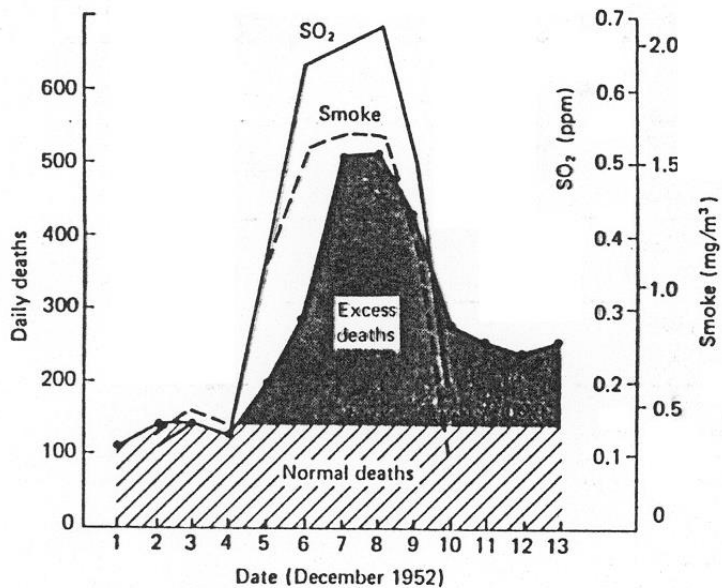
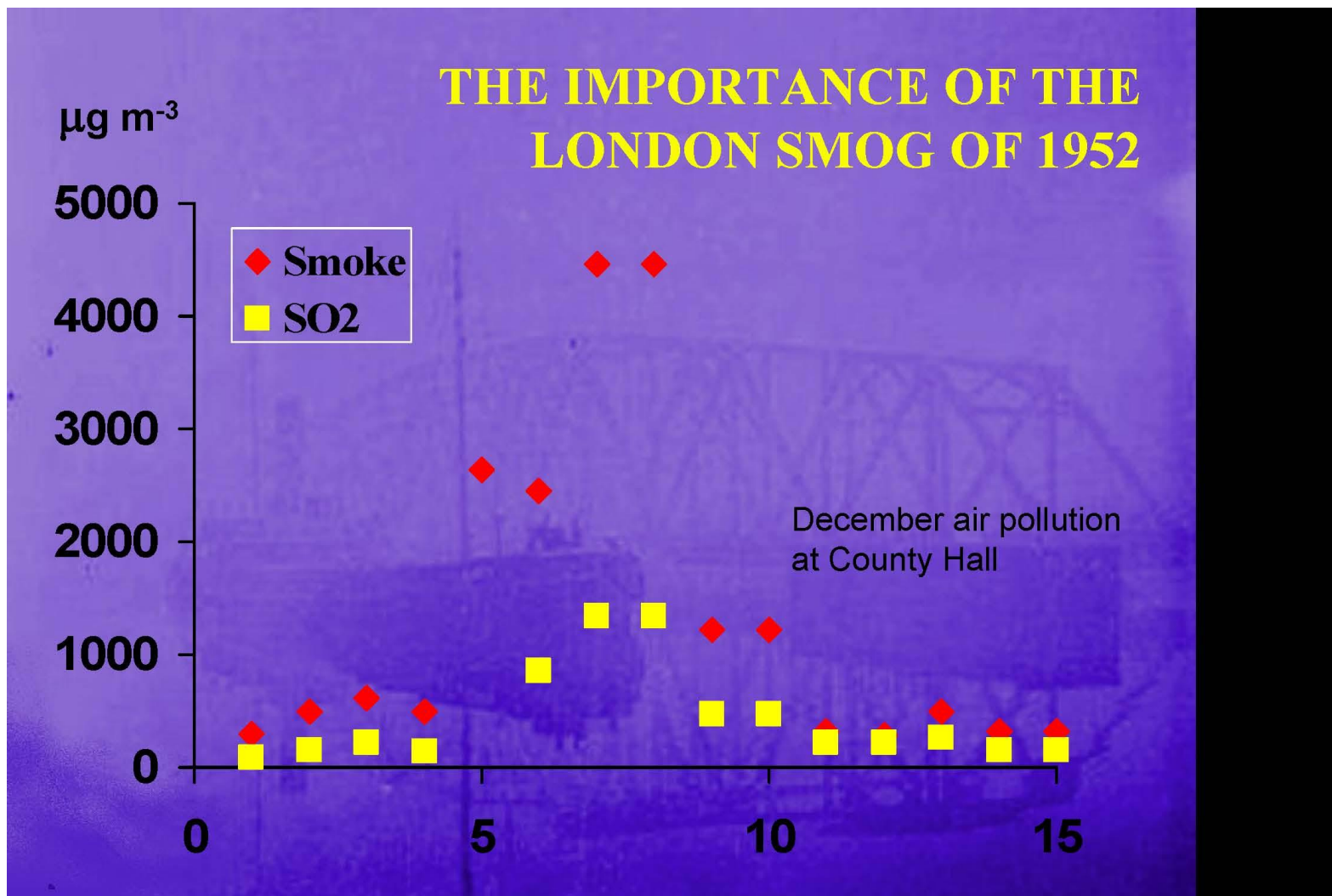


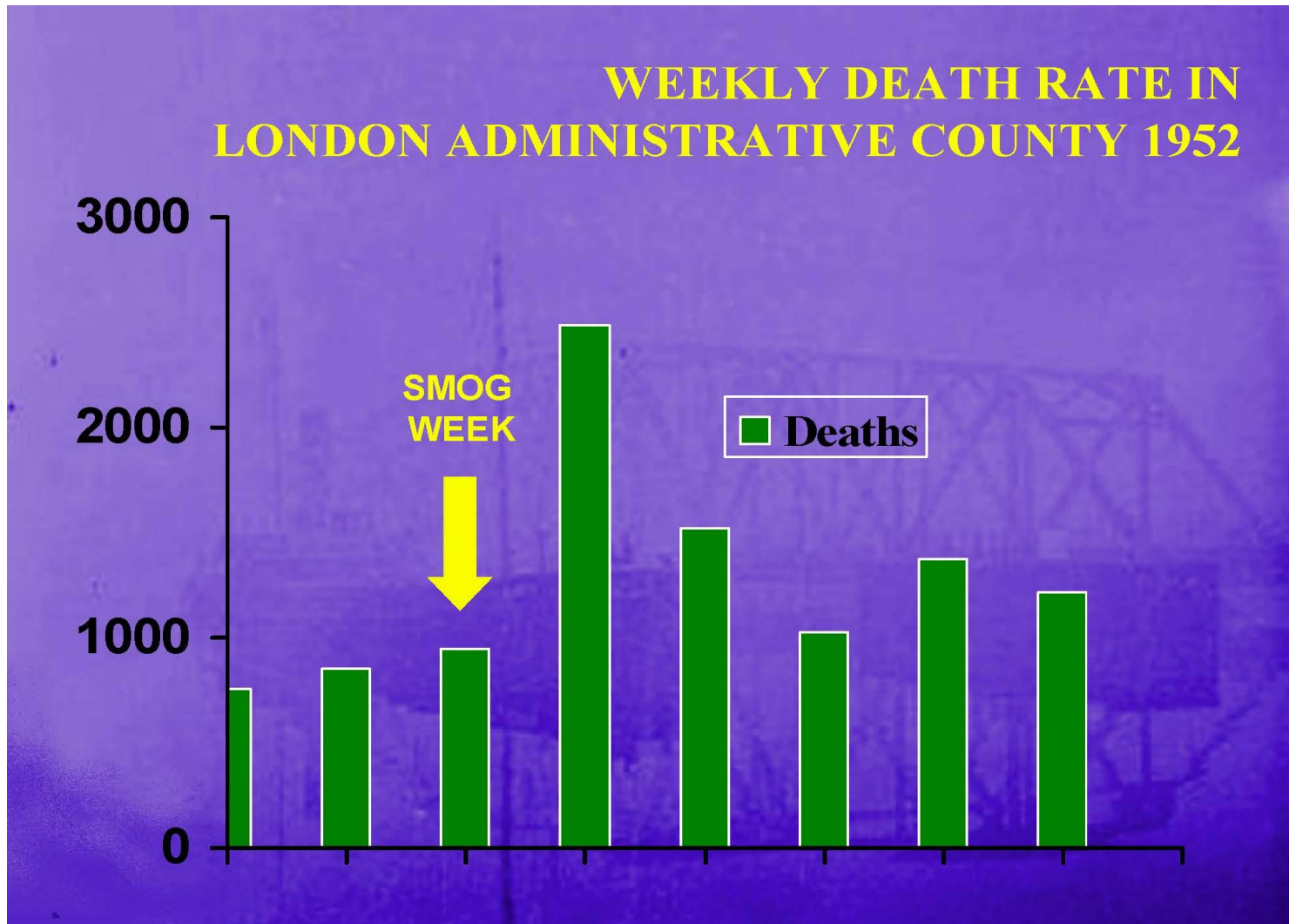
FIGURE 3-1 Sulfur dioxide and smoke concentrations and daily deaths in London Administrative County before, during, and after the great smog of December 5 to 9, 1952. [5, 6]



# Londýnský smog

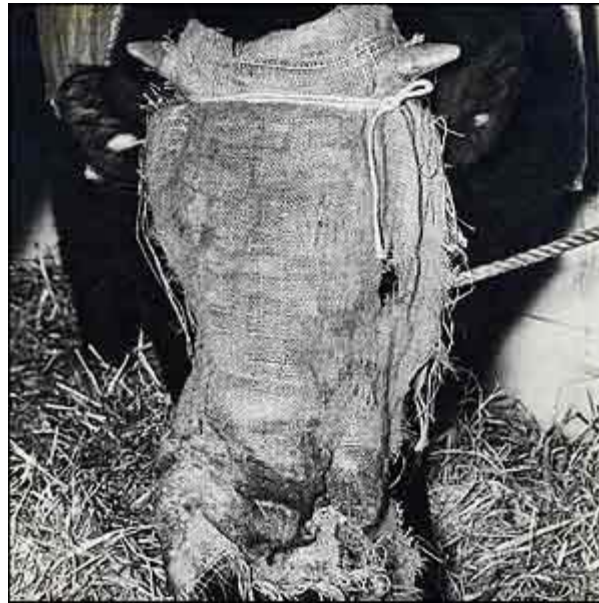


# Londýnský smog





# Londýnský smog a problémy obyvatel



- ↪ Zastaven provoz autobusů, zrušeny fotbalové zápasy
- ↪ Problémy hospodářských zvířat
- ↪ Nemožnost najít cestu domů

# Struktura přijatého zákona

## Many clauses

- PHA (1936) 6
- CAA (1956) > 40

## Detail in memoranda

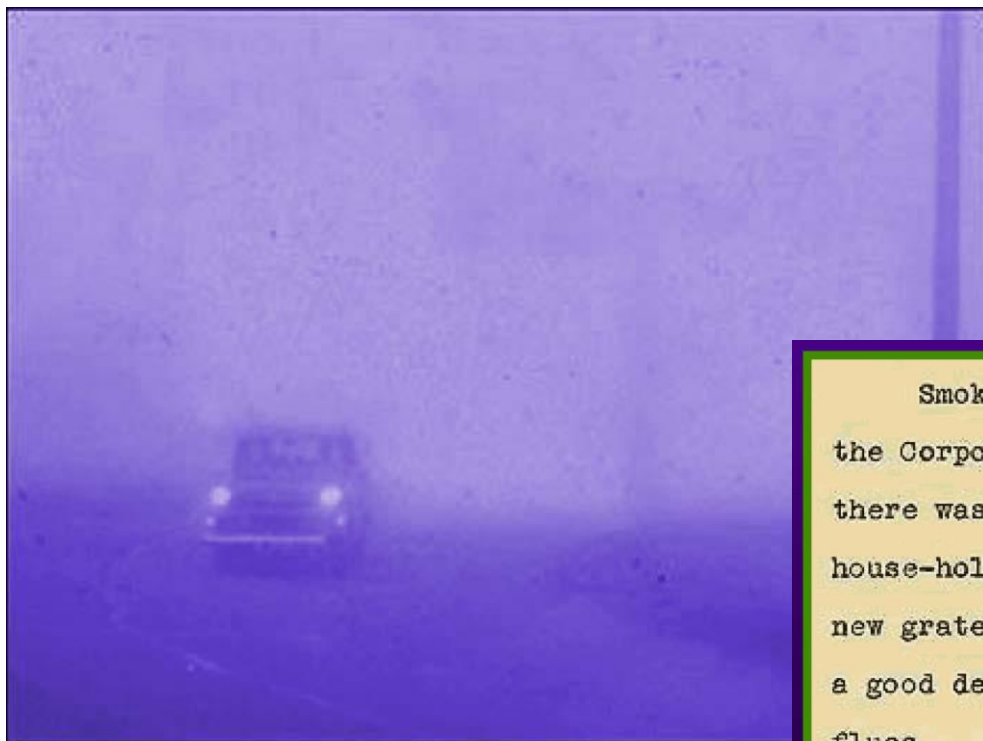
- chimney heights
- smoke control areas
- industrial premises

## Compare with EC/96/62

## Air Quality Monitoring and Management Directive

# Problémy

## Nedostatek vhodného paliva



Smokeless fuel grates were being installed in the Corporation's houses. Unfortunately, however, there was not enough smokeless fuel so that the house-holders were having to burn smoky fuel on these new grates and the Corporation was having to incur a good deal of expenditure on cleaning and altering flues.

R.W.B. CLARKE

30th June, 1955

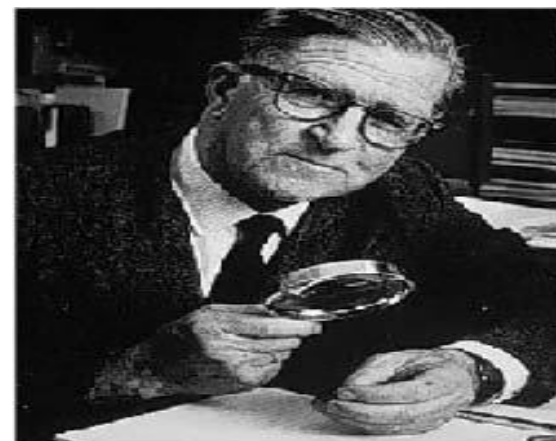
CRAWLEY: CLEAN AIR

# Dnes

CAA(1956) affects our concept of environment

Personal freedom and the automobile

Doubts - public transport will never cope





# Smogy – Ostravsko, únor, 2011



# Smogy – Ostravsko, 07/11/2011



# Smogy - Česká kotlina





# Smogy – Ústí nad Labem





# Důsledky působení imisí - souhrn

- ↪ ohrožení života lidí - dráždí oční sliznici, poškozování horních cest dýchacích, alergická onemocnění
- ↪ okyselení půdy a vodních toků - projevuje se hlavně tam kde je nedostatek vápníku, který by kyseliny neutralizoval. Škody na rybách se projevují pod hodnoty 6,5 pH, pod 5 pH je voda „mrtvá“
- ↪ škody na lesních porostech – od pol. 70 let rozsah škod daleko nad přirozenou úroveň – hlavně střední Evropa, Sev. Amerika. V současné době je ve střední Evropě poškozena více než 1/2 lesních porostů – příčiny jsou různé, často se vzájemně (synergicky) posilují.
- ↪ škody na majetku a uměleckých dílech – zejména oxid siřičitý rozrušuje strukturu staveb a uměleckých památek, způsobuje korozi skla, kovů

# Poškozování lesů imisemi

- a) **zachytávání škodlivin na listech a jehličí** – vede k poškozování chlorofylu a xantofylu (zelené a žluté barvivo), porušování buněčných membrán, odumírání buněk a tkání, k poruchám dýchání, u živočichů leptá sliznici
- b) **klimatické příčiny** – v některých případech jsou stromy ne zcela zničeny, ale pouze oslabeny a potom jsou velmi náchylné ke klimatickým podmínkám – zejména suchá léta, mrazivé zimy a silný vítr (normálně se les zotaví, pokud není oslaben imisemi)
- c) **nákazy a hmyz** – např. kůrovec. Působí podobně jako klimatické škody synergicky s poškozením imisemi a nevhodným hospodařením v lesích
- d) **odumírání symbiotických hub**

# Poškozování lesů imisemi

- e) **okyselení půdy** – při nízkém pH dochází k vyplavování minerálních živin z půdy (Ca, Mg, Na, K) – jsou uvolněny a vyplaveny a místo nich nastupují toxické ionty, zejména  $\text{Al}^{3+}$  – dochází k postupné otravě
- f) **disproporce ve výživě stromu** – kyselé deště jsou dobrým hnojivem, protože obsahují množství  $\text{NO}_x$  – v půdě se však nedostává hořčíku, který je nezbytnou součástí chlorofylu – strom rychle dorůstá, ale do nových jehlic si musí půjčovat živiny ze starších – ty žloutnou a opadávají. Přírůstky dřeva jsou proto mnohdy vysoké, dřevo je však řidší, méně pevné a náchylné ke zlomům